

一种全息体视图虚实场景融合显示的图像编码方法

刘云鹏, 汪熙, 刘新蕾, 荆涛, 蒋晓瑜, 闫兴鹏*

陆军装甲兵学院信息通信系, 北京 100072

摘要 为了较好地实现全息体视图虚实场景融合的立体显示, 分析了虚实场景之间存在的遮挡关系, 提出一种基于实例分割与深度值判定的图像编码方法。理论分析表明, 场景间的遮挡来源于特定视角下物点的不同深度信息, 相机采样时只能保留近处物点的强度信息。求解采样图像的深度图, 利用深度值判定的方法可以实现场景的有效融合。为进一步降低深度值求解不精确的影响, 利用 Mask R-CNN 实例分割算法对真实场景的采样图像进行分层处理, 并赋予各层伪深度值, 再采用深度值判定方法实现虚实场景之间有遮挡关系的融合编码。采用基于有效视角图像分割与重组 (EPISM) 的方法进行全息打印光学实验, 结果表明, 所提出的图像编码方法可以有效实现虚实场景融合的立体显示。

关键词 全息; 全息体视图; 虚实融合; 图像编码; 三维显示

中图分类号 O436

文献标志码 A

doi: 10.3788/CJL202249.0409002

1 引言

全息体视图打印技术^[1]是光学全息术^[2]与双目视差原理^[3]的有机结合, 它利用离散的二维图像近似重构原 3D 光场, 为全息 3D 显示开辟了新路径, 并且已经广泛应用于医疗、商业、军事等领域^[4-6]。1967 年, Pole^[7]利用复眼透镜阵列进行采样, 将图像直接写入全息单元中, 制作出第一幅全息体视图。随后, 单步法^[8]、两步法^[9]相继出现, 通过优化全息体视图的记录方式, 提升了再现像的质量。20 世纪末, 随着计算机技术的迅速发展, 针对全息体视图的研究从硬件设置转变为软件处理。无穷远相机法^[10]、Lippmann 法^[11]、数字直写 (DWDH) 法^[12]均能实现 3D 场景的快速写入与高质量无畸变显示。2017 年, 本课题组提出一种基于有效视角图像切片嵌入 (EPISM) 的单步全息体视图打印方法^[13-16], 该方法的处理速度更快、显示质量更高, 适用于 3D 光场的快速编码写入及高分辨率再现。

全息体视图的数据源既可以是真实场景, 又可以是计算机渲染的 3D 模型, 这为虚实场景的融合显示提供了契机, 而虚实场景的融合显示频繁出现

在增强现实 (AR) 领域。相关研究表明, 在真实场景中附加虚拟 3D 元素, 可以带给观察者更直观、更震撼的视觉感受, 因此结合全息理论研究虚实场景的融合显示具有一定的理论与现实意义。头戴式全息显示器是全息术与 AR 有机结合后的一种特殊应用。传统的计算机生成全息图 (CGH) 在全息显示器的工作中计算量大, 数据冗余严重。Chen 等^[17]通过分析人眼瞳孔对有效波前传输的局限性, 提出一种适用于头戴式全息显示器的 CGH 的低冗余、快速计算方法, 将计算量降低至传统方法的 1.5%, 并且再现像质量良好。为了解决传统全息 Maxwell 显示器景深与图像质量之间固有的折中问题, Wang 等^[18]提出了一种基于球面波前与平面波前相结合的大自由度、高图像质量的成像方法。利用球面波和平面波两种全息 Maxwell 显示器实现了 AR 显示器自由度范围的互补。近年来, 近眼全息与全息 AR 显示密切相关^[19-20]。2019 年, Yang 等^[21-22]提出一种用于近眼虚拟现实 (VR) 和 AR 3D 显示的具有多重投影图像的快速计算生成全息方法。通过将投影图像与相应的点扩展函数进行卷积, 设计并开发了近眼 AR 全息 3D 显示系统。计算速度显著提

收稿日期: 2021-06-09; 修回日期: 2021-06-29; 录用日期: 2021-07-05

基金项目: 国家自然科学基金 (61775240)、国家重点研发计划 (2017YFB1104500)、全国优秀博士学位论文作者专项资助 (201432)

通信作者: *yanxp02@gmail.com

高(是传统方法的 38 倍),可以生成无斑点噪声的高质量 VR 和 AR 3D 图像。Li 等^[23]提出一种实现 3D 光学透明 AR 的全息显示系统,他们利用体全息的角度复用性能,在光学全息元件上写入同时具有反射和透射功能的光栅。利用该元件,可以在全息显示的同时看到无干扰的真实场景。然而,在全息体视图领域,对 3D 场景虚实融合 AR 显示的研究相对较少。本课题组提出一种像素替换方法,将虚拟场景信息直接叠加到真实场景上^[24],但该方法不能实现具有复杂遮挡关系的场景融合。

实际上,全息体视图的 3D 显示来自所有全息单元联合显示。因此,为了实现全息体视图的虚实融合显示,必须对图像进行有效编码。本文提出一种基于实例分割与深度值判定的图像编码方法。分析表明:场景存在遮挡关系的本质在于,同视线下多物点的深度值不同,深度小的物点会遮挡住深度大的物点。据此,提出一种基于深度值判定的编码方法。但是,考虑到现有方法求解的深度值不精确的问题,进一步提出一种利用实例分割算法对场景分层,为各层赋伪深度值,再进行深度值判定的方法,并介绍了图像编码方法的相关原理和实现细节。编码后的图像采用 EPISM 方法进行处理。光学实验结果表明,所提出的图像编码方法可以有效地实现全息体视图的虚实融合立体显示。

2 场景遮挡分析

全息体视图虚实场景的融合立体显示,不能只是真实 3D 场景与虚拟 3D 模型之间简单的叠加,二者应具有合理的,甚至复杂的遮挡关系,才能使观察者具有良好、真实的视觉体验。为便于分析,不妨提出以下 3 个假设:1)任一空间物点应具有唯一归属的性质,即空间中任何一个物点,要么属于真实 3D 场景,要么属于虚拟 3D 模型,这一假设符合人眼的观察规律;2)任一像素点对应的场景空间区域具有平面特性,即在采样时,任一像素点对应唯一的深度值;3)真实 3D 场景与虚拟 3D 模型都不具有透明

属性(后续工作可以附加透明属性)。

基于上述假设,可以进一步分析虚、实场景之间的遮挡关系:两者在某一视角下呈现一定的遮挡关系,必然是两者物点的深度不一致造成的,深度小的物点将会遮挡住深度大的物点,并在图像对应像素点处留下强度信息。如图 1 所示,A、B 分别为实、虚场景的部分表面投影到二维平面(xoz)上的曲线,相机 #1 拍摄的图像应同时显示两场景的部分信息。以像素点 $p(i, j)$ ((i, j) 为该采样图像内的像素位置索引)为例进一步分析:当 A、B 分别采样时,场景 A 的物点 O 与场景 B 的物点 O' 均在各自采样图像的像素点 $p(i, j)$ 处保留信息,然而场景融合显示时,物点 O 在相机 #1 视角处挡住了物点 O', 因此编码后图像的像素点 $p(i, j)$ 应只保留物点 O 的信息。相机 #3 处的情况则与相机 #1 相反。

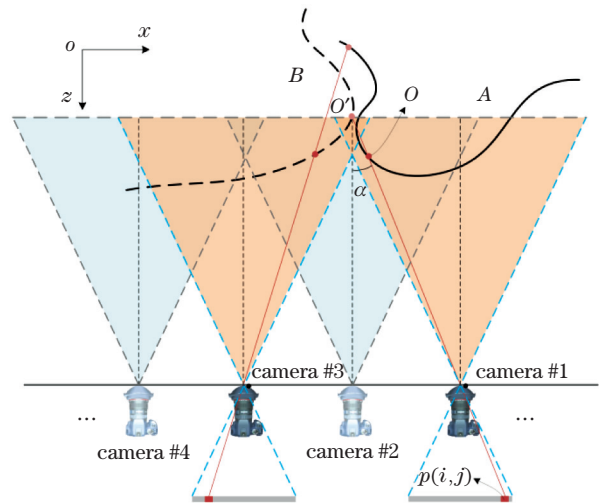


图 1 虚实场景融合显示遮挡分析

Fig. 1 Occlusion analysis of virtual and real scene fusion display

综上,虚、实场景有相互遮挡时,可以依据深度值进行图像编码,其原则是:预设虚、实场景的空间位姿后分别进行采样,计算图像的深度信息,并遍历所有像素点进行深度值比较,取舍相应场景图像的强度信息,直至完成所有采样图像的编码。图 2 所示为基于深度值判定的图像编码流程。

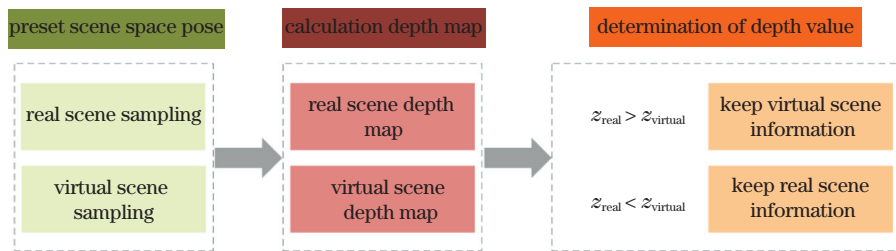


图 2 基于深度值判定的图像编码流程

Fig. 2 Image coding flow based on depth value determination

深度信息的精确计算成了新的问题。通常采用单目深度估计^[25-27]、立体匹配^[28-30]及基于深度学习的深度估计^[31-33]等方法求解图像的深度值,但是这些方法很难得到精确的深度值;当虚、实场景距离较远、深度差值较大时,深度估计带来的误差尚可接受;当深度差值较小时,深度估计误差会造成错误取舍,使原本的遮挡关系完全相反。当然,也可用深度信息采集设备进行采样,如 Kinect 传感器^[34-35]等,但这种硬件设备一般都存在极限距离。因此,若要实现虚实场景融合显示的图像编码,必须另辟蹊径。

事实上,上述编码方法的本质是通过深度值判定遮挡关系,而深度值的正确与否并不重要,只要满足要求即可。另外,当某一视角的编码图像同时保留虚、实场景的部分信息时,遮挡必定存在。因此,无需对采样图像进行精确的深度值计算,只要能判断场景的正确遮挡关系即可。可以采用实例分割方法对场景的前景与背景进行分层,依据遮挡关系为各层赋伪深度值,再利用深度值判定方法进行图像编码。在技术难度上,图像的实例分割要比精确的深度计算更加简单。参考图 3,考虑比较简单的情况。假设真实场景在相机 # 1 下的采样图像经过分层后存在 $layer_1$ 、 $layer_2$ 两层,分别对应前景与背景,赋予两层伪深度值为 d_1 、 d_2 。虚拟场景在相机 # 1 下的采样图像只有 $layer_{vir}$ 一层。设在该视角下编码后的图像中,场景的遮挡关系为 $layer_1 \triangleright layer_{vir} \triangleright layer_2$,其中 \triangleright 表示前者遮挡后者。那么便可预设虚拟场景在相机 # 1 下的采样图像对应的伪深度值为 $d = \{d_{vir} | d_1 < d_{vir} < d_2\}$,然后利用前述深度值判定方法进行图像编码。

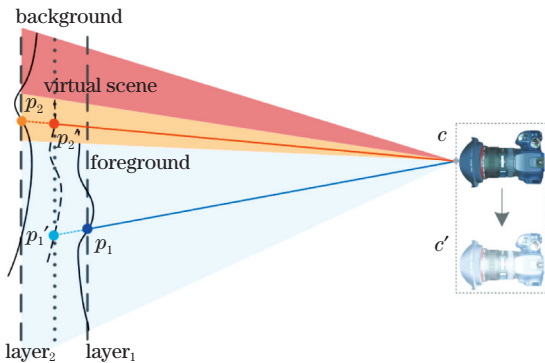


图 3 场景分层示意图

Fig. 3 Schematic of scenes layering

3 图像编码实现

基于第 2 节的讨论,可以将所提到的图像编码方法概括为:对真实场景采样,并对得到的采样图像

进行实例分割;按照真实采样的参数设定进行虚拟场景采样,并渲染深度图;利用虚拟场景深度图计算真实场景分层后各层相应的深度值;利用深度值判定方法完成图像编码。下面根据此流程进行编码实验。

采用“士兵”模型作为真实场景的前景,山地图像作为背景。在 3D Studio Max 软件中渲染“BAM!”模型并进行采样。搭建了单相机时序采样系统,将单个 MER2-502-79U3C 型 CMOS 数字相机固定安装在 Zolix KSA300 型电控位移平台上,位移平台内的步进电机受到 Zolix MC600 运动控制器的驱动,可在水平和垂直两个自由度内以任意间隔移位采样,如图 4 所示。

虚拟场景采样与真实场景采样设置保持一致,同时渲染其“z 深度”通道,得到“BAM!”模型图像的深度图。其中 $z_{min} = 10 \text{ cm}$ 、 $z_{max} = 30 \text{ cm}$ ，“BAM!”模型距离相机 14.3 cm。

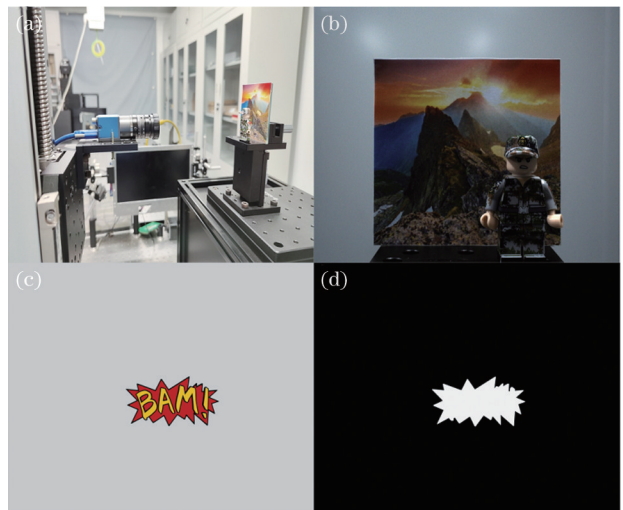


图 4 真实场景与虚拟场景的采样。(a) 单相机时序采样系统;(b) 真实场景“士兵”模型图像;(c) 虚拟场景“BAM!”模型图像;(d) 渲染得到的深度图

Fig. 4 Sampling of real and virtual scenes. (a) Single camera timing sampling system; (b) real scene “soldier” model image; (c) virtual scene “BAM!” model image and (d) its depth map

综合比较了多种实例分割方法^[36-38],决定采用效果较好的 Mask R-CNN 实例分割网络架构^[39-40]进行分层处理。Mask R-CNN 由何凯明提出,可以实现目标检测、语义分割、实例分割,其在 Faster R-CNN^[41-42]的基础上,增加了一个完全卷积网络(FCN),在目标检测的基础上实现了语义分割,进而实现了实例分割,图 5 所示为 Mask R-CNN 在 COCO 数据集^[43]上的测试效果,其在指定实例上附

加一层随机颜色的掩码,可以看出 Mask R-CNN 能

够很好地完成实例分割任务。

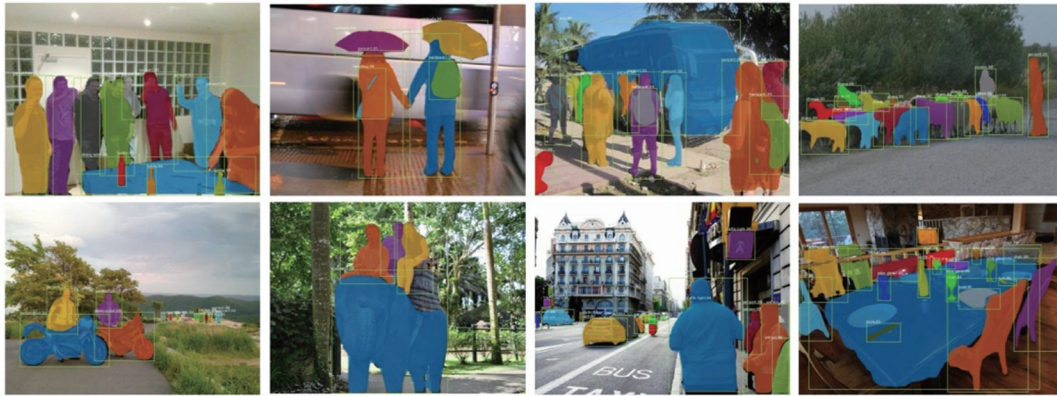


图 5 Mask R-CNN 在 COCO 数据集上的测试效果

Fig. 5 Test effects of Mask R-CNN on COCO data set

利用 Windows 操作系统及计算能力较强的 NVIDIA TITAN Xp 型号显卡,在 Tensorflow 深度学习开源框架上基于 Keras 模型库搭建了 Mask R-CNN 网络架构。利用 labelme 标注工具制作了带有掩码标签的 400 幅“士兵”模型图像数据集(实际需要编码的图像为 19321 幅),其中 350 幅用于训练,50 幅用于验证,如图 6(a)、(b)所示。将训练次数设置为 150 个 epoch,经过多层特征金字塔网络

的迭代优化训练,训练集损失降低至 0.016,验证集损失降低至 0.017,实例检测准确的置信度达到 1.0,其在自制的“士兵”模型图像数据集上测试的效果如图 6(c)所示,分割的细节显示在右侧。士兵头、手、脚的边缘位置,特别是与背景像素相似的部分,没有被掩码准确覆盖;但颈部和手臂可以很好地覆盖。这说明分割结果可以满足基本要求,但仍有改进的空间。

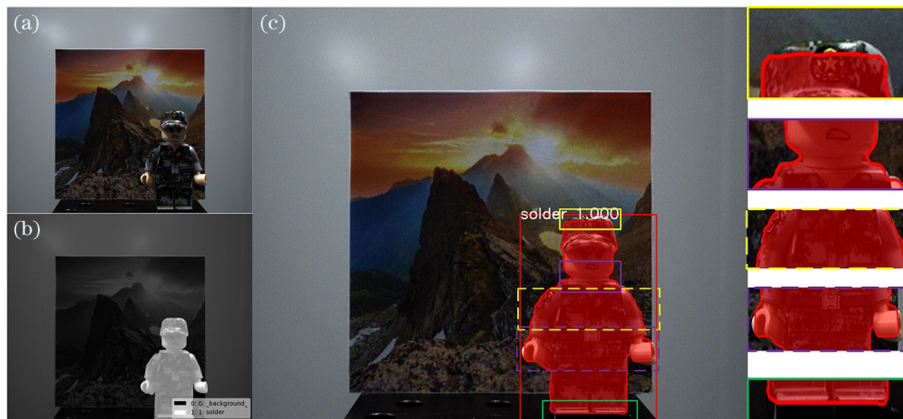


图 6 自制数据集的测试效果。(a)“士兵”模型图像;(b)带有掩码的标签图像;(c)实例分割结果

Fig. 6 Test effects of self-made data sets. (a) Image of soldier model; (b) corresponding label image with mask;

(c) instance segmentation result

利用训练好的模型对所有要编码的士兵模型图像进行预测,得到相应的带有前景掩码的图像。由于采用的场景仅有一个实例,且虚拟场景深度图的灰度范围为 0~255,因此利用数字图像处理方法对这些图像进行黑白二值化处理,得到具有伪深度值的深度图(前景为 255,背景为 0),以保证下一步进行深度值判定时结果的正确性,如图 7 所示。这样可以保证虚拟场景图像的深度值介于前景和背景深度值之间,符合上述图像编码原理。

利用基于深度值判定的方法完成图像编码。

图 8 所示为 9 个不同视角下编码完成后的图像,图像右上角的标号表示该图像在所有图像构成的全视差视角图像矩阵中的位置索引,并对第一列图像的部分细节放大显示。可见,虚拟场景的图像信息已经融入真实场景的前景和背景中。编码图像中士兵右臂边缘不平滑,但左臂的边缘较光滑,这是因为在编码时,只比较虚拟图像中存在场景信息的像素位置,虚拟图像和真实图像之间的遮挡中士兵的右臂挡住了“BAM!”,因此编码时,虽然存在掩码覆盖偏差,但左臂等不参与比较的部位仍会保留原始图像

形态。这表明所提方法具有一定的容错性。在图 8 (a)中,虚拟“BAM!”存在掩码覆盖偏差,“BAM!”

甚至会遮挡士兵,但是这些问题对编码图像的整体质量几乎没有影响。

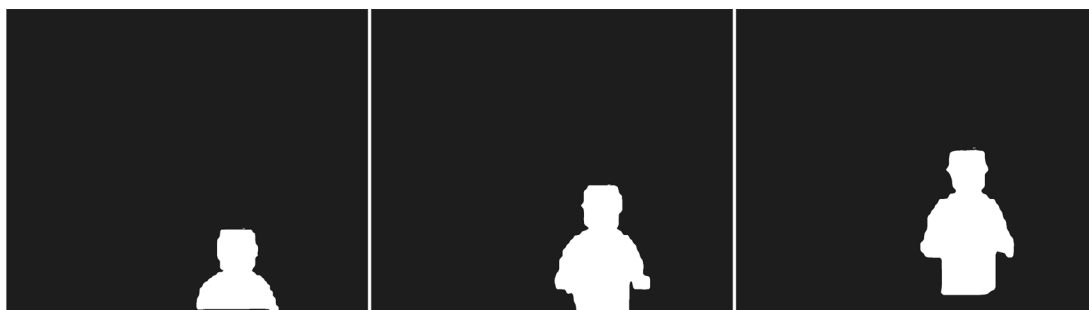


图 7 3 张黑白二值化处理后的伪深度图像

Fig. 7 Three pseudo depth images after black-and-white binary processing

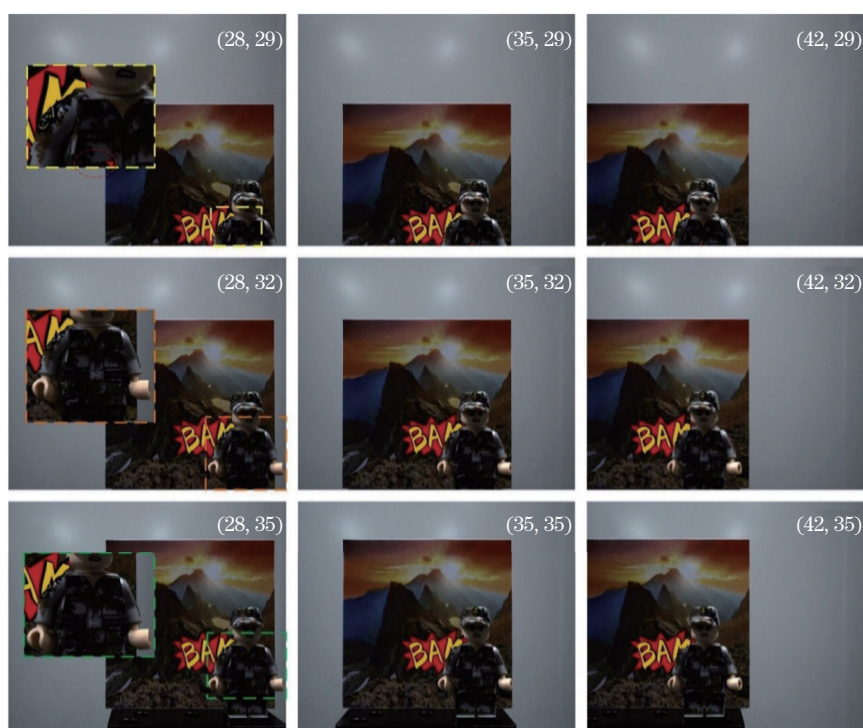


图 8 编码后的部分视角图

Fig. 8 Part of the encoded perspectives

编码后的视角图像不可直接用于全息打印,需进行进一步处理,本实验采用本课题组提出的基于有效视角图像分割与重组 (EPISM) 的方法进行图像处理。该方法参考传统两步法^[9],根据光线追迹原理与光路的可逆性,模拟人眼的锥形放射状观察效果,对原始视角图像进行分割重组处理,得到最终需要曝光的图像。EPISM 方法处理速度快,利用其得到的再现像具有分辨率高、凸出显示和记录介质的优点。EPISM 方法的详细内容参考文献[12]。

4 实验与结果

采用 EPISM 全息体视图打印方法进行图像预处理,得到用于全息打印的曝光图像。实验光路设置如

图 9(a)所示。采用 400 mW/639 nm 的单纵模线偏振固体激光器 CNI MSL-FN-639 作为激光光源,型号为 Sigma Koki SSH-C2B 的电子快门用于控制曝光时间。激光光束通过 $\lambda/2$ 波片与偏振分光棱镜后,分为两束光,即物光光束与参考光光束,两路光束之间的能量比通过第一个 $\lambda/2$ 波片调节,同时在参考光光路上放置另一个 $\lambda/2$ 波片,用于调节参考光光束的偏振态,保持其与物光光束偏振态的一致性。物光光束经扩束后照射 LCD 屏,并经散射膜扩散后到达全息干板。参考光光束经滤波、准直后,得到均匀的平面波参考光光束。参考光光束大约偏离全息干板法线方向 30° 入射,物光光束与参考光光束从两侧入射后相互干涉,写入曝光图像信息。全息干板被固定在型号为 KSA300 的 $x-y$

线性位移平台,该平台在水平与垂直方向的定位精度均为 $1\ \mu\text{m}$,位移平台受控于型号为 MC600 的可编程控

制器,全息单元的打印顺序如图 9(b)所示。全息单元尺寸为 $2\ \text{mm}$,全息图幅面尺寸为 $8\ \text{cm}$ 。

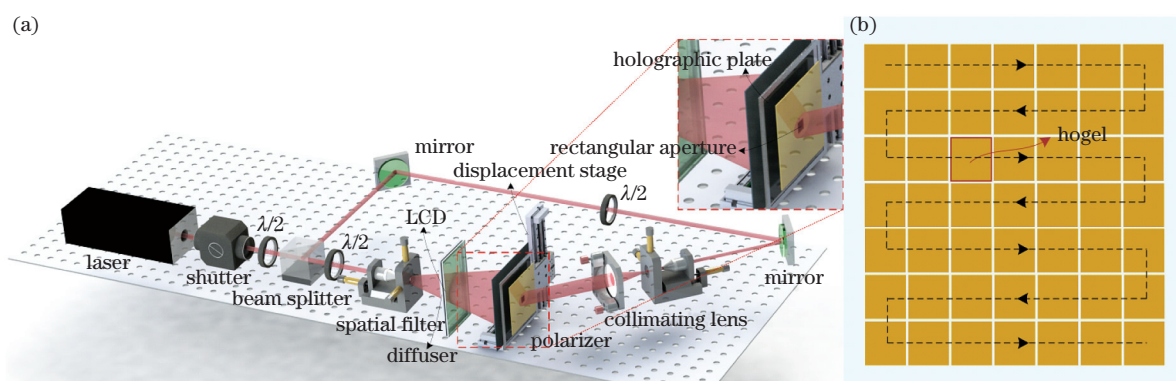


图 9 全息打印示意图。(a)打印光路示意图;(b)全息单元打印顺序

Fig. 9 Schematic of holographic printing. (a) Schematic of printing optical path; (b) printing sequence of hogels

打印结束后,全息干板经显影、漂白等处理,可在红光条件下再现 3D 像。如图 10 所示,使用 Canon 相机配以焦距为 $100\ \text{mm}$ 的微距镜头在全息干板前方约 $40\ \text{cm}$ 处拍摄再现像。

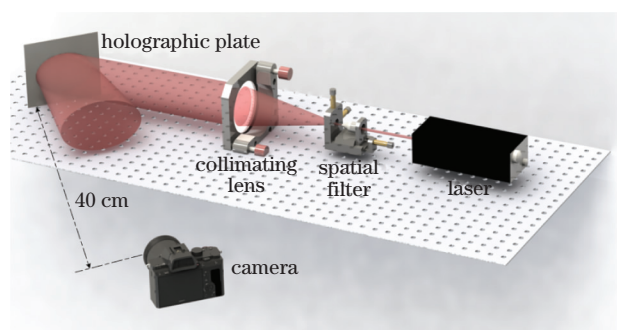


图 10 光学再现系统示意图

Fig. 10 Schematic of optical reconstruction system

不同视角下拍摄的图像如图 11 所示,从 5 个视



图 11 5 个视角下的再现像

Fig. 11 Reproductive images in five directions

角的再现图像可以看到,“BAM!”已成功嵌入士兵与背景之间的真实场景中。然而,在重构光场中,由于真实场景的主体区域很大,当观察者位于视野的极限区域外时,视觉效果会受到很大的影响,无法观察到整个真实场景的主体部分。另外,重建图像中背景的边缘部分比其他部分更亮,这是由真实场景采样中灯光照射造成的,这也较好地反映了全息视图对原始光场信息的重建效果。

图 12 显示了实验结果的一些细节:士兵的手臂不光滑,但颈部与采样图像之间几乎没有差异,这与实例分割的结果一致。



图 12 实验结果的一些细节

Fig. 12 Details of experimental result

比较虚拟场景和真实场景的深度信息,结果如图 13 所示。采样时,“BAM!”和士兵分别距离摄像机 $13.5\ \text{cm}$ 和 $14.3\ \text{cm}$ 。对比图 13(a)、(b),当相机焦点在该范围内调整时,字母“A”从清晰变为模糊,但士兵的帽子从模糊变为清晰。真实相机的采

样效果不如软件中的虚拟相机,对比效果不明显,但可以看出帽子的伪影有所减少。放置两个标尺有助于比较显示结果。标尺 #1 与全息板的距离为 14.3 cm,标尺 #2 为 13.5 cm,与采样参数一致。

可见:当相机聚焦在标尺 #2 时,字母“A”显示清晰;相比之下,相机聚焦在标尺 #1 时士兵的显示效果更清晰。这不仅意味着再现像中虚实场景存在深度差异,也表明深度差不随伪深度赋值而变化。

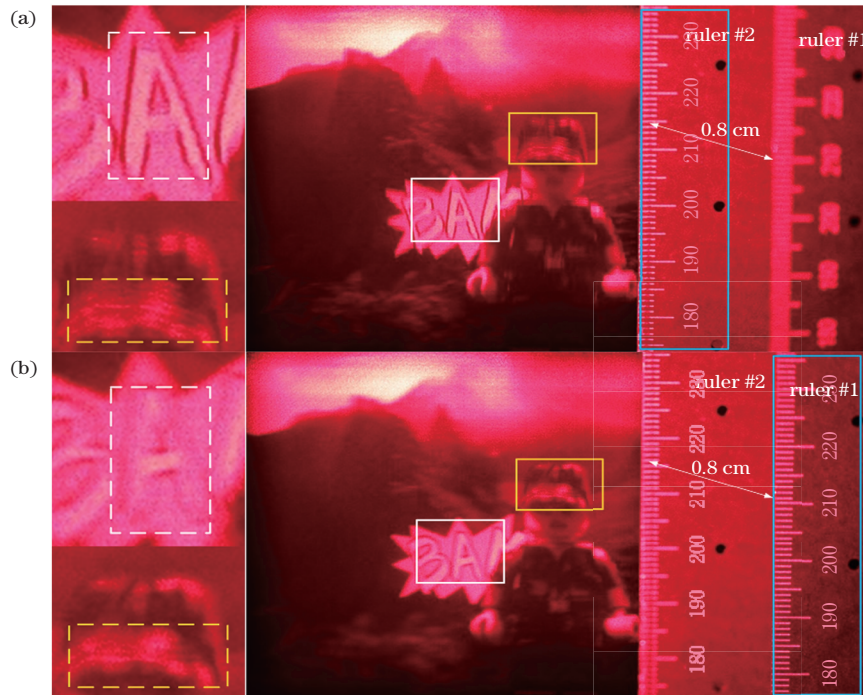


图 13 相机聚焦在不同位置时虚拟场景与真实场景的深度比较。(a)标尺 #2;(b)标尺 #1

Fig. 13 Depth comparison between virtual scene and real scene when the camera focus on different positions.

(a) Ruler #2; (b) ruler #1

5 结 论

为了实现全息体视图虚实场景的融合显示效果,提出一种基于实例分割与深度值判定的图像编码方法。理论分析与实验结果表明:在全息体视图领域,所提的图像编码方法可以有效地在真实场景内部附加一些虚拟 3D 元素以增强视觉感受。虚实场景之间的结合不是简单的场景叠加,而是充分考虑了遮挡关系,实现这一点的关键在于场景分层后的伪深度赋值与判定。所提出的虚实融合方法与 AR 领域的最新工作需求仍有很大差距,但提出的方法为全息体视图 AR 显示这一研究方向提供了新的思路,并可进一步深入挖掘,比如:通过不断提升实例分割效能对场景进行更为精确的分层;研究精确的深度计算方法,用精确的深度值作为基本处理数据,更能展现全息体视图虚实场景融合显示的效果。需要指出的是,本文仅讨论了简单、小型的场景,偏向于理想条件。理论上,所提方法适用于采样图像中具有明确的不同实例之间存在遮挡关系的场

景,但不能处理同一实例之间的遮挡,因此复杂场景的相关工作仍需深入研究。

参 考 文 献

- [1] Fan F, Yan X P, Li P, et al. General hogel-based effective perspective image segmentation and mosaicking method for holographic stereogram printing[J]. Chinese Journal of Lasers, 2019, 46(12): 1209001.
樊帆, 闫兴鹏, 李沛, 等. 针对一般情形的全息单元有效视角图像切片嵌合法全息体视图打印[J]. 中国激光, 2019, 46(12): 1209001.
- [2] Gabor D. A new microscopic principle[J]. Nature, 1948, 161(4098): 777.
- [3] Qian N. Binocular disparity and the perception of depth[J]. Neuron, 1997, 18(3): 359-368.
- [4] Liu P, Sun X D, Zhao Y, et al. Ultrafast volume holographic recording with exposure reciprocity matching for TI/PMMA's application [J]. Optics Express, 2019, 27(14): 19583-19595.
- [5] The first 20 years of holographic video and the next

- 20 [C/OL]. SMPTE 2nd Annual International Conference on Stereoscopic 3D for Media and Entertainment, June 21-22, 2011, New York[2021-05-15]. https://www.researchgate.net/publication/268387890_The_First_20_Years_of_Holographic_Video_-_and_the_Next_20.
- [6] Bjelkhagen H I, Brotherton-Ratcliffe D. Ultrarealistic imaging: the future of display holography [J]. *Optical Engineering*, 2014, 53 (11): 112310.
- [7] Pole R V. 3-D imagery and holograms of objects illuminated in white light [J]. *Applied Physics Letters*, 1967, 10(1): 20-22.
- [8] Debitetto D J. Holographic panoramic stereograms synthesized from white light recordings[J]. *Applied Optics*, 1969, 8(8): 1740-1741.
- [9] King M C, Noll A M, Berry D H. A new approach to computer-generated holography [J]. *Applied Optics*, 1970, 9(2): 471-475.
- [10] Halle M W, Benton S A, Klug M A, et al. Ultragram: a generalized holographic stereogram [J]. *Proceedings of SPIE*, 1991, 1461: 142-155.
- [11] Yamaguchi M, Ohyama N, Honda T. Holographic three-dimensional printer: new method[J]. *Applied Optics*, 1992, 31(2): 217-222.
- [12] Myridis N E. Ultra-realistic imaging: advanced techniques in analogue and digital colour holography, by Hans Bjelkhagen and David Brotherton-Ratcliffe [J]. *Contemporary Physics*, 2014, 55(3): 247-248.
- [13] Su J, Yuan Q, Huang Y, et al. Method of single-step full parallax synthetic holographic stereogram printing based on effective perspective images' segmentation and mosaicking [J]. *Optics Express*, 2017, 25(19): 23523-23544.
- [14] Fan F, Jiang X Y, Yan X P, et al. Holographic element-based effective perspective image segmentation and mosaicking holographic stereogram printing[J]. *Applied Sciences*, 2019, 9(5): 920.
- [15] Su J, Yan X, Jiang X, et al. Characteristic and optimization of the effective perspective images' segmentation and mosaicking (EPISM) based holographic stereogram: an optical transfer function approach[J]. *Scientific Reports*, 2018, 8(1): 4488.
- [16] Yan X, Zhang T, Wang C, et al. Analysis on the reconstruction error of EPISM based full-parallax holographic stereogram and its improvement with multiple reference plane[J]. *Optics Express*, 2019, 27(22): 32508-32522.
- [17] Chen Z D, Sang X Z, Lin Q J, et al. Acceleration for computer-generated hologram in head-mounted display with effective diffraction area recording method for eyes[J]. *Chinese Optics Letters*, 2016, 14(8): 080901.
- [18] Wang Z, Zhang X, Lv G, et al. Hybrid holographic Maxwellian near-eye display based on spherical wave and plane wave reconstruction for augmented reality display[J]. *Optics Express*, 2021, 29 (4): 4927-4935.
- [19] Chang C L, Bang K, Wetzstein G, et al. Toward the next-generation VR/AR optics: a review of holographic near-eye displays from a human-centric perspective[J]. *Optica*, 2020, 7(11): 1563-1578.
- [20] He Z H, Sui X M, Jin G F, et al. Progress in virtual reality and augmented reality based on holographic display[J]. *Applied Optics*, 2018, 58 (5): A74-A81.
- [21] Yang X, Zhang H B, Wang Q H. A fast computer-generated holographic method for VR and AR near-eye 3D display[J]. *Applied Sciences*, 2019, 9(19): 4164.
- [22] Yang X, Lin S F, Wang D, et al. Holographic AR display based on free-form lens combiner and LED illumination[J]. *Proceedings of SPIE*, 2019, 1120: 210-215.
- [23] Li G, Lee D, Jeong Y, et al. Holographic display for see-through augmented reality using mirror-lens holographic optical element [J]. *Optics Letters*, 2016, 41(11): 2486-2489.
- [24] Zhang T, Yan X P, Wang C Q, et al. EPISM holographic stereogram with multi-reference planes [J]. *Chinese Journal of Lasers*, 2020, 47 (9): 0909001.
- 张腾, 闫兴鹏, 王晨卿, 等. 多参考平面的 EPISM 全息体视图 [J]. *中国激光*, 2020, 47(9): 0909001.
- [25] Roy A, Todorovic S. Monocular depth estimation using neural regression forest [C] // 2016 IEEE Conference on Computer Vision and Pattern Recognition (CVPR), June 27-30, 2016, Las Vegas, NV, USA. New York: IEEE Press, 2016: 5506-5514.
- [26] Fu H, Gong M M, Wang C H, et al. A compromise principle in deep monocular depth estimation [EB/OL]. (2017-08-28) [2021-06-01]. <https://arxiv.org/abs/1708.08267>.
- [27] Yan H, Zhang S L, Zhang Y, et al. Monocular depth estimation with guidance of surface normal map[J]. *Neurocomputing*, 2018, 280: 86-100.
- [28] Isard M, Blake A. CONDENSATION: conditional density propagation for visual tracking[J]. *International Journal of Computer Vision*, 1998, 29 (1): 5-28.
- [29] Sekine Y. Effects of country-of-origin information on product evaluation: an information processing

- perspective [J]. *Neuroscience & Biobehavioral Reviews*, 2017, 72 (6): 232.
- [30] Chang J R, Chen Y S. Pyramid stereo matching network [C] // 2018 IEEE/CVF Conference on Computer Vision and Pattern Recognition, June 18-23, 2018, Salt Lake City, UT, USA. New York: IEEE Press, 2018: 5410-5418.
- [31] Liu F Y, Shen C H, Lin G S, et al. Learning depth from single monocular images using deep convolutional neural fields[J]. *IEEE Transactions on Pattern Analysis and Machine Intelligence*, 2016, 38 (10): 2024-2039.
- [32] Schwarz M, Schulz H, Behnke S. RGB-D object recognition and pose estimation based on pre-trained convolutional neural network features [C] // 2015 IEEE International Conference on Robotics and Automation (ICRA), May 26-30, 2015, Seattle, WA, USA. New York: IEEE Press, 2015: 1329-1335.
- [33] Zhan H Y, Garg R, Weerasekera C S, et al. Unsupervised learning of monocular depth estimation and visual odometry with deep feature reconstruction [C] // 2018 IEEE/CVF Conference on Computer Vision and Pattern Recognition, June 18-23, 2018, Salt Lake City, UT, USA. New York: IEEE Press, 2018: 340-349.
- [34] Khoshelham K. Accuracy analysis of Kinect depth data[J]. *The International Archives of the Photogrammetry, Remote Sensing and Spatial Information Sciences*, 2012, XXXVIII-5/W12: 133-138.
- [35] Smisek J, Jancosek M, Pajdla T. 3D with Kinect [M]. New York: IEEE Press, 2011: 1154-1160.
- [36] Hyypya J, Kelle O, Lehtikoinen M, et al. A segmentation-based method to retrieve stem volume estimates from 3-D tree height models produced by laser scanners[J]. *IEEE Transactions on Geoscience and Remote Sensing*, 2001, 39(5): 969-975.
- [37] Dai J F, He K M, Sun J. Instance-aware semantic segmentation via multi-task network cascades [C] // 2016 IEEE Conference on Computer Vision and Pattern Recognition (CVPR), June 27-30, 2016, Las Vegas, NV, USA. New York: IEEE Press, 2016: 3150-3158.
- [38] Gupta S, Girshick R, Arbeláez P, et al. Learning rich features from RGB-D images for object detection and segmentation[M] // Fleet D, Pajdla T, Schiele B, et al. *Computer vision-ECCV 2014. Lecture notes in computer science*. Cham: Springer, 2014, 8695: 345-360.
- [39] He K M, Gkioxari G, Dollár P, et al. Mask R-CNN [C] // 2017 IEEE International Conference on Computer Vision (ICCV), October 22-29, 2017. Venice. New York: IEEE Press, 2017: 2980-2988.
- [40] Xu Y Y, Li D W, Xie Q, et al. Automatic defect detection and segmentation of tunnel surface using modified Mask R-CNN [J]. *Measurement*, 2021, 178: 109316.
- [41] Girshick R. Fast R-CNN [C] // 2015 IEEE International Conference on Computer Vision (ICCV), December 7-13, 2015. Santiago, Chile. New York: IEEE Press, 2015: 1440-1448.
- [42] Ren S Q, He K M, Girshick R, et al. Faster R-CNN: towards real-time object detection with region proposal networks[J]. *IEEE Transactions on Pattern Analysis and Machine Intelligence*, 2017, 39 (6): 1137-1149.
- [43] Lin T Y, Maire M, Belongie S, et al. Microsoft COCO: common objects in context [M] // Fleet D, Pajdla T, Schiele B, et al. *Computer vision-ECCV 2014. Lecture notes in computer science*. Cham: Springer, 2014, 8693: 740-755.

An Image Encoding Method for Fusion Display of Virtual and Real Scenes in Holographic Stereogram

Liu Yunpeng, Wang Xi, Liu Xinlei, Jing Tao, Jiang Xiaoyu, Yan Xingpeng^{*}
Department of Information Communication, Army Academy of Armored Forces, Beijing 100072, China

Abstract

Objective Holographic stereogram technology is attracting increasing attention in the field of three-dimensional (3D) display. According to the technical principle of holographic stereograms, the displayed 3D scene can be a real-world scene or a 3D model rendered by a computer, which creates conditions for the display of fused real and virtual scenes. Relevant research in the field of augmented reality (AR) shows that adding virtual 3D elements to a real scene can provide an observer with a more intuitive and intense visual experience. For example, in the exhibits of

cultural relics, to protect the real artifact, a 3D image and specific information about a cultural relic are presented, and some virtual introductory signs can be superimposed on the image. However, how to correctly express the spatial relationship between real and virtual scenes has become a new problem. We propose an image coding method to realize scene fusion with a correct occlusion relationship by processing the sampled images of real and virtual scenes. We hope that the proposed method will provide a reference for further research into holographic stereogram AR display.

Methods To address the problem of image coding in the fusion display of real and virtual scenes, this paper first analyzes the generation of occlusion between scenes. The analysis shows that the occlusion relationship is determined by the depth of different object points and provides the basic process of a method based on the depth value. However, the method based on depth value judgment relies too much on accurate depth calculation results, and with existing methods, ensuring accuracy is difficult. Therefore, a method based on instance segmentation and depth assignment is proposed. We use Mask R-CNN to segment the sampled images of the real scene and assign each instance a pseudo depth value according to the depth range of the virtual scene to ensure the occlusion relationship. Finally, the method based on the depth value is used for image coding.

Results and Discussions The encoded image can integrate the virtual scene into the foreground and background of the real scene with the correct occlusion relationship; however, the fusion result is greatly affected by the effect of instance segmentation (Fig. 8). We use the EPISM method for holographic printing and obtain the reconstructed images from five perspectives. Consequently, the virtual scene is successfully integrated into the real scene (Fig. 11). We describe the reconstructed image in detail. Due to the influence of instance segmentation, the edge of the scene is inconsistent with the original scene, which is consistent with the previous analysis (Fig. 12). Finally, we compare the depth information of the real scene and the virtual scene in the reconstructed image. The comparison results demonstrate that the depth information of the reconstructed image is consistent with the sampling setting (Fig. 13).

Conclusions To achieve the fusion display effect of real and virtual scenes in a holographic stereogram, an image coding method based on instance segmentation and depth value determination is proposed. A theoretical analysis and the experimental results show that the proposed image coding method can effectively add some virtual 3D elements in the real scene to enhance the visual experience. The combination of virtual and real scenes fully considers the occlusion relationship, which is not a simple scene superposition. The key to fully considering the occlusion relationship is to assign and determine the pseudo depth after scene layering. There is still a significant gap between the virtual reality fusion method discussed in this paper and the latest work in the AR field. However, the proposed method provides a basic idea for further research into holographic stereogram AR displays. For example, by continuously improving the efficiency of instance segmentation, the scene is more accurately layered. The accurate depth calculation method is studied, and the accurate depth value is used as the basic processing data, which can better show the effect of virtual real scene fusion display in a holographic stereogram. This paper only considers the simple and small scenes used in an experiment and tends to assume ideal conditions. In theory, the proposed method is suitable for scenes with a clear occlusion relationship between different instances in the sampled image; however, it cannot effectively deal with the occlusion between the same instances. Therefore, further analysis of complex scenes is required.

Key words holography; holographic stereogram; fusion of virtual and real scenes; image encoding; 3D display